

بررسی آسیب پذیری لرزاهاي سازه‌های دوبلكسی بتن آرمه در برابر زلزله

غلامرضا قادری امیری^۱، علی خیرالدین^{۲*} و علی کارگران^۳

^۱ استاد، دانشکده مهندسی عمران، دانشگاه علم و صنعت ایران

^۲ استاد، دانشکده مهندسی عمران، دانشگاه سمنان

^۳ عضو هیات علمی دانشگاه آزاد اسلامی واحد گرمسار، کارشناس ارشد مهندسی زلزله

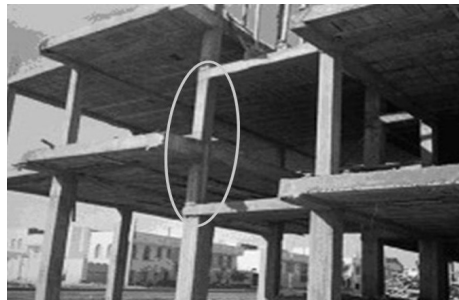
(تاریخ دریافت ۱۲/۰۵/۱۳۸۷، تاریخ دریافت روایت اصلاح شده ۱۰/۰۶/۱۳۹۰، تاریخ تصویب ۲۸/۰۶/۱۳۹۰)

چکیده

ملاحظات معماری از قبیل قرارگیری پیلوت و واحد های تجاری در همکف و جلوگیری از تجمع ورودی های مختلف در محتمع های آپارتمانی، سازه های دوبلكسی را پدید می آورد که در آنها کف های طبقات با اختلاف ترازی نسبت به هم در دو یا چند تراز ارتفاعی مختلف ایجاد می شوند. در سازه های دوبلكسی عمده مشکلات ناشی از عدم پیوستگی دیافراگم کف می باشد که باعث تغییرات چشم گیری در دوره تناوب، سختی و پخش نیروی زلزله می گردد. در این مقاله با آنالیز دینامیکی غیرخطی به کمک نرم افزار IDARC به بررسی موقعیت مکانی و زمانی وقوع اولین ترک و مفصل پلاستیک، طول زمان وقوع اولین ها، زمان و موقع مفصل پلاستیک در ستون های کوتاه، شاخص خسارت طبقات و شاخص خسارت کل در سه سازه دوبلكسی، ۴، ۸ و ۱۰ طبقه تحت دو نگاشت زلزله طبس و سنترو در PGA های ۰/۳g، ۰/۵g و ۰/۷g پرداخته شده است. نتایج نشان می دهد که در هر دو زلزله، طبقات بالاتی همه سازه ها در ۰/۳g طبس، در سازه ۸ طبقه در ۰/۷g، شاخص کل خسارت سازه نسبت به سازه های ۴ و ۱۰ طبقه بیشتر است ولی در زلزله السنترو، علاوه بر ۰/۷g، در ۰/۵g نیز این امر صادق است. همچنین تحت هر دو زلزله ترک و مفصل تیرها، در تیرهای متصل به ستون فصل مشترک دو قسمت سازه که دارای اختلاف ارتفاع می باشند، ایجاد می شود و در سازه های ۴ و ۸ طبقه بیشترین خرایی تیرها و ستون ها در قسمت کوتاه تر قاب که دارای ارتفاع کمتر می باشد و در سازه ۱۰ طبقه در قسمت بلندتر قاب رخ می دهدند و ...

واژه های کلیدی: سازه دوبلكسی، بتن آرمه، آسیب پذیری لرزاهاي، الگوي ترک، مفصل پلاستیک، ستون کوتاه، دینامیکی غیرخطی

مقدمه



شکل ۱: ستون های کوتاه سازه دوبلكسی بتن مسلح

باتوجه به اهمیت این موضوع ، محققین بسیاری در این زمینه تحقیق نموده اند . عبداله و همکاران [۲] ، با استفاده از روش الاستوپلاستیک جهت آنالیز تنش در لوله فولادی نتایج حاصل از ارزیابی ستون های کوتاه TRC به صورت مدل المان محدود غیر خطی و نتایج آزمایشگاهی را مورد مقایسه قرار داده اند . بی و همکاران [۲] ، عملکرد ستون های فولادی کوتاه و باریک پر شده از بتن را تحت

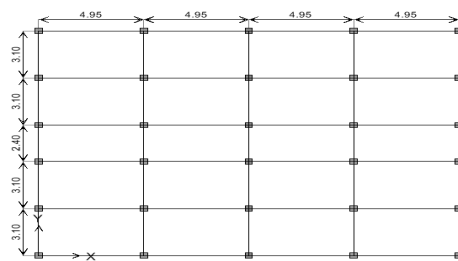
در سازه های دوبلكسی کف های طبقات با اختلاف ترازی نسبت به هم در دو یا چند تراز ارتفاعی مختلف ایجاد می شوند. طول مؤثر ستون های واقع در فصل مشترک این سازه ها به اندازه های کوچکتری تقسیم می شود که هر یک از آنها به صورت یک ستون کوتاه عمل می کنند. نکته حائز اهمیت در این سازه ها وجود اختلاف ارتفاع بین دو جزء سازه دوبلكسی می باشد که باعث تغییرات چشم گیری در پریود و سختی و پخش نیروی زلزله و بارگذاری لرزاهاي سازه می گردد. بر اساس مطالعات و تحقیقات انجام شده در خصوص نیروهای وارد بر فصل مشترک سازه های دوبلكسی ، مشخص شده است که نیروی برشی در ستونی (ستون کوتاه) که دو سازه دوبلكسی را به هم متصل می کند نسبت به برش در ستون مشابه در سازه معمولی بین ۱/۵ تا ۲/۵ برابر افزایش می باید [۱] .

[۱۲] ، لیپینگ و همکاران [۱۳] و جلال و قبارا [۱۴] انجام شده است . بخشی و تابش پور [۱۵] تأثیر میانقاب و پدیده ستون کوتاه را با نرم افزار IDARC و با نکاشت زلزله طبس با شتاب بیشینه $0.35g$ مورد تحلیل دینامیکی غیرخطی قرارداده اند . عباس نیا و برقی [۱۶]، با بررسی انواع انهدام ستون ها زیرا اثر بار جانبی دوره ای یا زلزله ، پارامترهایی که به لحاظ فیزیکی در نوع انهدام تأثیر دارند شناسائی و تعریف کرده و با استفاده از اطلاعات آزمایشگاهی و نتایج بارگزاری بر روی تعدادی نمونه ، مدل جدیدی برای پیش بینی نوع انهدام ستون ها معرفی کردند . خیرالدین و میرنظامی [۱] ، با آنالیز ساختمان فلزی ۵ ، ۱۰ و ۱۵ طبقه پارامترهای لرزه ای اعم از تغییرات پریود ، تغییرمکان و همچنین تشکیل ستون کوتاه و عوامل تشیدی کننده آن را مورد بررسی و روشی برای بارگزاری استاتیکی معادل ساختمان های دوبلکسی پیشنهاد داده اند .

معرفی مسئله و روش تحقیق

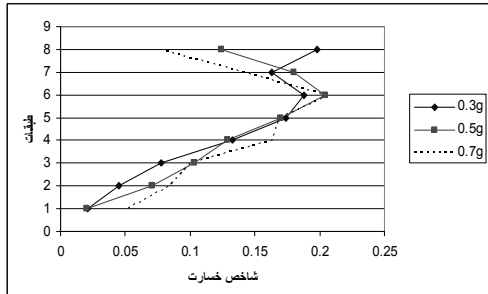
در این تحقیق سه سازه دوبلکسی با شکل پذیری از نوع قاب خمشی بتنی متوسط که دارای اختلاف تراز ارتفاعی ۱/۶ متر می باشند، مورد بررسی قرار گرفته اند . پلان هر سه سازه به صورت کاملاً یکسان فرض گردیده (شکل ۲) و از لحاظ ارتفاع ، متغیر و شامل سازه های ۴ طبقه، ۸ طبقه و ۱۰ طبقه می گرددن . پلان هر سازه به ابعاد 19.8×14.8 متر مربع بوده که دارای ۵ دهانه $4/95$ متری در جهت X و ۴ دهانه $3/1$ متری و یک دهانه $2/4$ متری در جهت Y می باشد . از آن جایی که سازه دوبلکسی در ارتفاع نامنظم محسوب می شود ، بارگذاری لرزه ای از دو روش استاتیکی معادل و دینامیکی طیفی انجام شده است .

با محوری و بارگذاری ترکیبی محوری و ممان خمشی با ستون های فولادی کوتاه توخالی مورد ارزیابی قرارداده اند که مشخص شده است ستون های ترکیبی پر شده از بتن دارای عملکرد و توانایی بهتر و گستره ای جهت به کارگیری در اعضای سازه ای دارند . زوا و لیو [۴]، رفتار ستون های کوتاه SRC استوانه ای و مربعی را با آزمایش بر روی هشت نمونه تحت بارگذاری محوری و سیکلی مورد ارزیابی قرارداده اند و دریافتند که لوله های فولادی به طور موثر از شکست برشی بتن در ستون های استوانه ای نسبت به ستون های مربعی جلوگیری می کنند . لیانگ و فراگومنی [۱۵] ، یک مدل کلی برای تحلیل و طراحی غیراستاتیک غیرخطی ستون های کوتاه فولادی پر شده از بتن تحت با محوری و یک مدل ساختاری دقیق برای بتن محصور شده با مقاومت بالا و متوسط در ستون های کوتاه استوانه ای ارائه داده اند و نیز از روش های عددی جهت مدلسازی رفتار غیر خطی ستون های استوانه ای استفاده کردند . موریتی و تاسیوس [۶] و [۷] ، که با آزمایش روی هشت نمونه ستون کوتاه بتن آرمه تحت بار محوری ثابت و تغییرمکان های استاتیکی سیکلی و اندازه گیری کرنش های بتن و فولاد ، نتایج طراحی لرزه ای با نسبت برش کم و رفتار لرزه ای ستون های کوتاه را مورد ارزیابی و بررسی قرارداده اند و یک مدل خربائی برای شبیه سازی رفتار ستون های کوتاه بتن آرمه در گسیختگی جهت فهم و درک بهتر مکانیزم خرابی و با توزیع نیروها در ستون ها پیشنهاد داده اند . همچنین مطالعات آزمایشگاهی بر روی رفتار غیرخطی نمونه های مختلف ستون کوتاه با کم و زیاد کردن میزان خاموت هنگامی که با صفحات CFRP و GFRP (الیاف کربنی) تقویت شده اند ، تحت اثر تغییر مکانه ای سیکلی جانبی و بار فشاری ثابت بر حسب تغییرات بارگزاری و شکل پذیری توسط محققینی چون هایدر و زاو [۸]، کولمب و همکاران [۹] ، پرومیس و همکاران [۱۰] ، جلال و همکاران [۱۱] ، قبارا و جلال

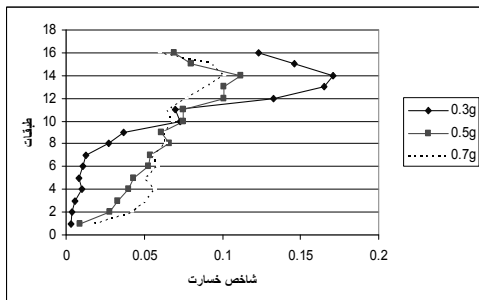


شکل ۲: پلان سازه ها

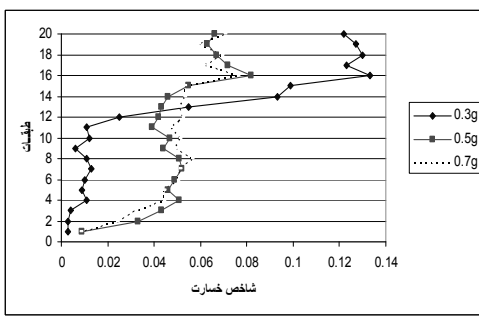
بالایی همه سازه‌ها در $0.3g$ /۰ دارای بیشترین شاخص خسارت هستند.



شکل ۳: شاخص خسارت طبقات سازه ۴ طبقه



شکل ۴: شاخص خسارت طبقات سازه ۸ طبقه



شکل ۵: شاخص خسارت طبقات سازه ۱۰ طبقه

شاخص کل خسارت سازه‌ها

از مقایسه شکل‌های ۶، ۷ و ۸ مشخص می‌گردد که فقط در سازه ۸ طبقه در PGA های بالا ($0.7g$ و $0.5g$)، شاخص کلی خسارت سازه از سازه‌های ۴ و ۱۰ طبقه بمیزان ۱۸ و ۱۲ درصد بیشتر است و در باقی حالات با افزایش تعداد طبقات و PGA، خرابی و خسارت نیز زیاد شده است.

خسارت وارد بر المان‌های سازه‌ای از طریق یک پروسه پیش‌روند و در مسیری که منجر به شکست آن می‌گردد رخ می‌دهد. این روند شامل مرحله خسارت در مقیاس‌های کوچک، ناشی از تجمع تنش‌های جزئی، خسارت در مقیاس متوسط، شامل رشد ترک‌ها و گسترش آنها و خسارت در مقیاس بزرگ که سازه با فروریختگی همراه است. برای بررسی رفتار واقعی سازه زلزله لازم است که سازه‌ها تحت یک آنالیز غیرخطی قرار گیرند. به این منظور از برنامه غیرخطی IDARC v6.0 [۱۷] که جهت آنالیز غیرخطی سازه‌های بتی آرمه شده و قابليت ايجاد چرخه‌های هيستريزيس از روی مشخصات هندسى متقطع بتن آرمه را دارد و در آن شاخص خسارت - Park-Ang Wen می‌باشد، استفاده شده است. یکی از قابليت‌های نرم افزار غیرخطی IDARC، مدل‌سازی و نشان دادن رفتار سازه در یک بازه زمانی در طول مدت اعمال زلزله به سازه می‌باشد. در اين تحقیق با اختصاص بازه زمانی ۰ تا ۲۵ ثانیه، رفتار لرزه‌ای قاب خارجی هریک از سازه‌های ۴، ۸ و ۱۰ طبقه، مانند موقعیت مکانی و زمانی وقوع اولین ترک و مفصل پلاستیک در المان‌های سازه، طول زمان وقوع اولین‌ها و زمان و مکان وقوع مفصل پلاستیک در ستون‌های کوتاه در PGA های $0.3g$ ، $0.5g$ و $0.7g$ دو نگاشت زلزله السنترو و طیس مورد بررسی و مقایسه قرار گرفته است. هردو زلزله السنترو و طیس دارای ارتعاش نسبتاً طولانی و بی‌قاعده‌های می‌باشند که اين از خصوصیات زلزله‌ای است که دارای عمق متوسط و سنگ بستر سخت هستند [۱۸].

بررسی مراحل خرابی سازه‌ها تحت زلزله السنترو

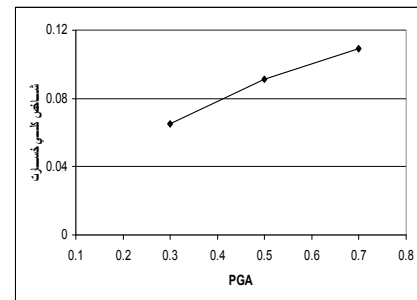
بررسی شاخص خسارت طبقات

مقایسه نمودار شکل‌های ۳، ۴ و ۵ نشان می‌دهد که در سازه‌های ۸ و ۱۰ طبقه شکل‌های ۸ و ۷، عمدۀ خرابی و خسارت تحت زلزله السنترو متوجه طبقات پائینی و میانی سازه شده است و شاخص کلی خسارت طبقات در این سازه‌ها در $0.7g$ و $0.5g$ دارای مقادیر عددی یکسان و مشابه هم می‌باشند. در سازه‌ها طبقه شکل ۶، در طبقات بالا و پائین سازه، خسارت بیشتری بوجود آمده است. مطابق نمودارها در طبقات پائین همه سازه‌ها بمیزان

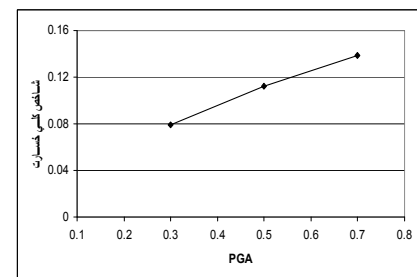
بررسی مراحل خرابی سازه ۸ طبقه

با توجه به حجم مقاله، فقط مراحل خرابی سازه ۸ طبقه در اینجا ارائه گردیده است. مطابق شکل ۱۱، در ۰/۳g در طبقات ۴ و ۵ تیرها درای ترک‌های بیشتری هستند. ولی در ۰/۳g و ۰/۷g در طبقات ۲ و ۳ تیرها ترک می‌خورند. در ۰/۳g و ۰/۷g ستون‌های کوتاه طبقات ۷ و ۸ بطور همزمان مفصل شده ولی در ۰/۵g هم‌زمان مفصل در ستون‌های کوتاه طبقات ۵ و ۶ و ۷ و ۸ و رخ می‌دهد به طوری که تعداد مفاصل در ستون‌های کوتاه در ۰/۳g و ۰/۵g متر در ۰/۳g و ۰/۵g می‌باشد.

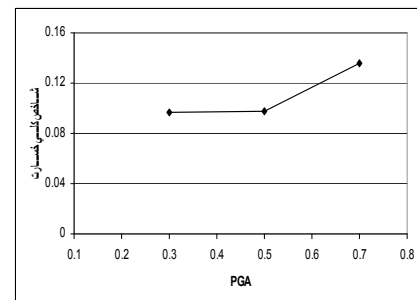
نتایج حاصل از روند آسیب پذیری سازه‌ها از نظر ایجاد اولین ترک و مفصل در اعضای سازه‌های ۴، ۸ و ۱۰ طبقه تحت زلزله سنترال بر حسب زمان و مکان وقوع و بازه زمانی در جدول ۱ ارائه شده است:



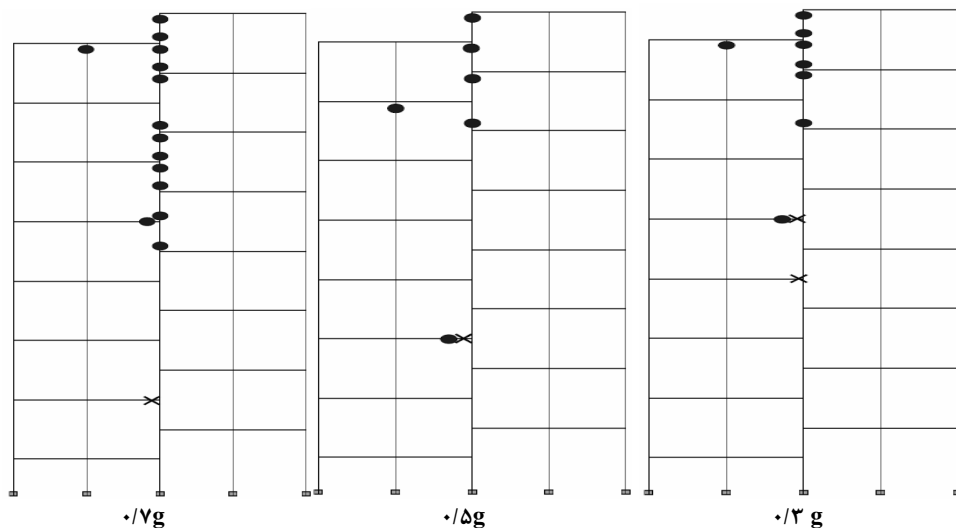
شکل ۶: شاخص کل خسارت سازه ۴ طبقه



شکل ۷: شاخص کل خسارت سازه ۸ طبقه

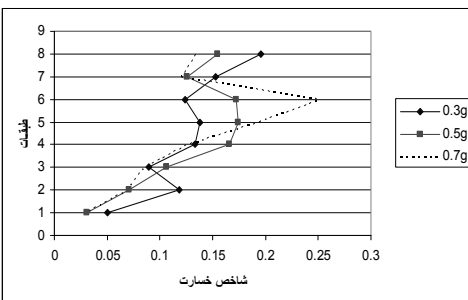


شکل ۸: شاخص کل خسارت سازه ۱۰ طبقه

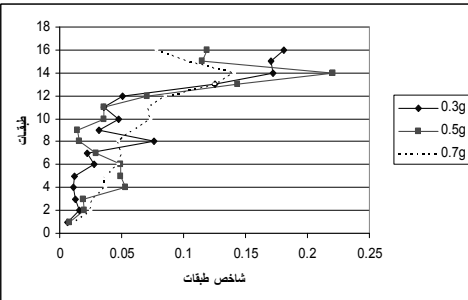


شکل ۹: الگوی ترک و مفصل در قاب سازه ۸ طبقه تحت زلزله سنترال

جدول ۱: مکانیزم آسیب پذیری (زمان و موقعیت اولین ترک و مفصل پلاستیک) سازه ها تحت زلزله السنتره



شکل ۱۰: شاخص خسارت طبقات سازه ۴ طبقه

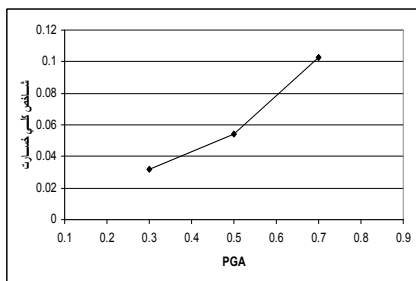


شکل ۱۱: شاخص خسارت طبقات سازه ۸ طبقه

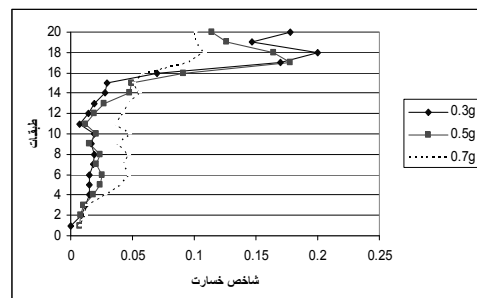
بررسی مراحل خرابی سازه‌ها تحت زلزله طبس

شاخص خسارت طبقات

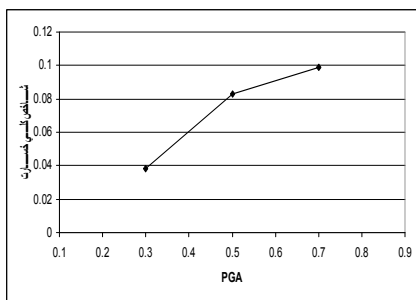
مقایسه شکل‌های ۱۰ و ۱۲ نشان می‌دهد که در سازه‌های بلند (۸ و ۱۰ طبقه) عمدت خرابی و خسارت متوجه طبقات بالایی شده است و در این سازه‌ها، شاخص کلی خسارت طبقات در $0.3g$ و $0.5g$ دارای نمودار و مقادیر عددی نزدیک به هم می‌باشند و اختلاف کمی بین آن‌ها وجود دارد. بر اساس نمودارها در طبقات پایین همه سازه‌ها، میزان خسارت در $0.7g$ بیشتر است و طبقات بالای همه سازه‌ها در $0.3g$ دارای بیشترین شاخص خسارت هستند. در سازه ۴ طبقه (شکل ۱۰) اختلاف زیادی بین مقادیر عددی خرابی و بین منحنی‌ها وجود دارد.



شکل ۱۴: شاخص کل خسارت سازه ۸ طبقه



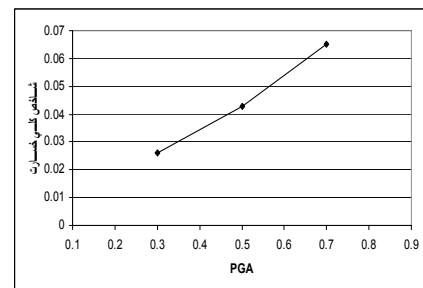
شکل ۱۲: شاخص خسارت طبقات سازه ۱۰ طبقه



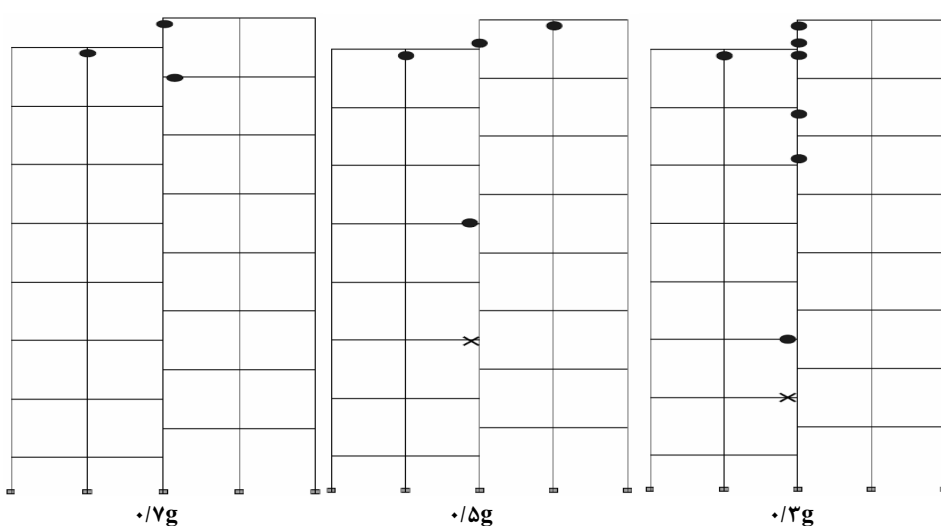
شکل ۱۵: شاخص کل خسارت سازه ۱۰ طبقه

شاخص کل خسارت سازه ها

از مقایسه شکل های ۱۴، ۱۳ و ۱۵ مشخص می گردد که در تمامی سازه ها با افزایش تعداد طبقات و PGA ، شاخص کل خسارت ، افزایش یافته است، فقط در سازه ۸ طبقه در $0.7g$ شاخص کل خسارت از سازه های ۴ و ۱۰ طبقه بمیزان ۳۷ و ۴ درصد بیشتر است و در باقی حالات با افزایش طبقات و PGA خسارت زیاد شده است.



شکل ۱۳: شاخص کل خسارت سازه ۴ طبقه



شکل ۱۶: الگوی ترک و مفصل در قاب سازه ۸ طبقه تحت زلزله طبس

تحت زلزله طبس برحسب زمان و مکان وقوع و بازه زمانی در جدول ۲ ارائه شده است:

نتایج حاصل از روند آسیب پذیری سازه‌ها از نظر ایجاد اولین ترک و مفصل در اعضای سازه‌های ۴، ۸ و ۱۰ طبقه

جدول ۲: مکانیزم آسیب پذیری (زمان و موقعیت اولین ترک و مفصل پلاستیک) سازه‌ها تحت زلزله طبس

سازه	PGA	مدت زمان خرابی (ثانیه)	تیر	ستون	ستون کوتاه
			ترک	مفصل پلاستیک	ترک
سازه ۴	+/۳g	۴/۷۸ تا ۱۱	ترک	مفصل پلاستیک	ترک
			۴/۷۸ تا ۱۱	۹/۶ ثانیه طبقه ۳	---
			۴/۷۸ تا ۱۱	۹/۵۸ ثانیه طبقه ۲	---
			۴/۷۸ تا ۱۱	۴/۷۸ ثانیه طبقه ۲	---
			۴/۷۸ تا ۱۱	۴/۷۸ ثانیه طبقه ۲	---
	+/۵g	۴/۶۷ تا ۱۰	ترک	مفصل پلاستیک	ترک
			۴/۶۷ تا ۱۰	۵/۱۹ ثانیه طبقه ۳	---
			۴/۶۷ تا ۱۰	۵/۱۵ ثانیه طبقه ۲	---
			۴/۶۷ تا ۱۰	۴/۶۵ ثانیه طبقه ۲	---
			۴/۶۷ تا ۱۰	۴/۷۱۵ ثانیه طبقه ۲	---
سازه ۸	+/۷g	۴/۶۲ تا ۸	ترک	مفصل پلاستیک	ترک
			۴/۶۲ تا ۸	۶ ثانیه همزمان طبقه ۳ و ۴	---
			۴/۶۲ تا ۸	۴/۶۲ ثانیه طبقه ۲	---
			۴/۶۲ تا ۸	۴/۶۲ ثانیه طبقه ۲	---
			۴/۶۲ تا ۸	۱۰/۷۶ ثانیه طبقه ۸	---
سازه ۱۰	+/۳g	۱۰/۷۳ تا ۱۱	ترک	مفصل پلاستیک	ترک
			۱۰/۷۳ تا ۱۱	۷ ثانیه طبقه ۸	---
			۱۰/۷۳ تا ۱۱	۴/۷۳ ثانیه طبقه ۳	---
			۱۰/۷۳ تا ۱۱	۴/۸۲ ثانیه طبقه ۲	---
			۱۰/۷۳ تا ۱۱	۴/۶۸۵ ثانیه طبقه ۲	---
سازه ۱۰	+/۵g	۴/۶۸۵ تا ۱۱	ترک	مفصل پلاستیک	ترک
			۴/۶۸۵ تا ۱۱	۶/۲ ثانیه همزمان طبقه ۴ و ۸	---
			۴/۶۸۵ تا ۱۱	۶/۲ ثانیه طبقه ۸	---
			۴/۶۸۵ تا ۱۱	۱۰/۴۲ ثانیه طبقه ۸	---
			۴/۶۸۵ تا ۱۱	۱۰/۷۶ ثانیه طبقه ۸	---
سازه ۱۰	+/۷g	۰/۰۰۵ تا ۵/۲۸	ترک	مفصل پلاستیک	ترک
			۰/۰۰۵ تا ۵/۲۸	۰/۰۰۵ ثانیه طبقه ۱۰	۰/۰۰۵ ثانیه طبقه ۱۰
			۰/۰۰۵ تا ۵/۲۸	۰/۰۰۵ ثانیه طبقه ۱۰	۰/۰۰۵ ثانیه طبقه ۱۰
			۰/۰۰۵ تا ۵/۲۸	۰/۰۰۵ ثانیه طبقه ۹	۰/۰۰۵ ثانیه طبقه ۹
			۰/۰۰۵ تا ۵/۲۸	۰/۰۰۵ ثانیه طبقه ۹	۰/۰۰۵ ثانیه طبقه ۹

است ولی در سازه ۱۰ طبقه از ۰/۰۰۵ تا حداقل ۵/۲ ثانیه می‌باشد. در واقع سازه ۱۰ طبقه در زمان کوتاهتر و بازه زمانی کوتاهتری خرابی در آن آغاز می‌گردد و زمان آغاز خرابی در سازه‌های ۴ و ۸ طبقه یکسان و برابر است و از آنجایی که زمان پیک زلزله السنترو در قسمت ابتدایی شتاب نگاشت قرار دارد در همان زمان اولیه وقوع زلزله، سازه دچار خرابی شده و به طور متوسط مدت زمان آغاز اولین مکانیزم‌های خرابی در سازه‌های ۴ و ۸ طبقه از ۱ ثانیه تا حداقل ۳ ثانیه است. ولی در سازه ۱۰ طبقه از ۰/۰۰۵ ثانیه تا حدود ۱/۵ ثانیه می‌باشد، در واقع خرابی در سازه ۱۰ طبقه در زمان کوتاهتر و بازه زمانی کوچکتری آغاز می‌گردد و زمان آغاز خرابی در سازه‌های ۴ و ۸ طبقه یکسان و برابر است.

در زلزله السنترو، در سازه‌ها، به ویژه سازه‌های ۴ و ۸ طبقه، ستون‌های کوتاه به تعداد بیشتری نسبت به سایر

نتیجه گیری

از بررسی و مقایسه شکل‌های ۴ تا ۱۹ و جداول ۱ و

۲، نتایج زیر از آنالیز دینامیکی غیرخطی سازه‌های ۴، ۸ و

۱۰ طبقه تحت زلزله السنترو و طبس ارائه می‌شود:

۱- در زلزله طبس، در سازه‌های ۸ و ۱۰ طبقه (سازه‌های بلند) عمدۀ خسارت و خرابی در طبقات بالائی سازه‌ها و در زلزله السنترو، در سازه‌های ۸ و ۱۰ طبقه عمدۀ خسارت و خرابی در طبقات پائینی و میانی سازه و در سازه ۴ طبقه (سازه کوتاه) در طبقات بالا و پائین، بیشتر می‌باشد.

۲- در زلزله طبس، در ۰/۷g، شاخص کل خسارت سازه ۸ طبقه نسبت به سازه‌های ۴ و ۱۰ طبقه بیشتر است ولی در زلزله السنترو، علاوه بر ۰/۷g، در ۰/۵g نیز این امر صادق است و در هر دو زلزله، طبقات بالائی همه سازه‌ها در ۰/۳g دارای بیشترین خسارت می‌باشند.

ستون و ستون کوتاه طبقه آخر ترک خورده و سپس ستون کوتاه، ستون و تیر طبقه آخر بترتیب مفصل می‌گرددند. در هر دو زلزله، ترک و مفصل تیرها، در تیرهای متصل به ستون فصل مشترک دو قسمت سازه که دارای اختلاف ارتفاع می‌باشند، رخ می‌دهند. در هر دو زلزله، در سازه‌های ۴ و ۸ طبقه بیشترین خرایی تیرها و ستون‌ها در قسمت کوتاه‌تر قاب که دارای ارتفاع کمتر می‌باشد و در سازه ۱۰ طبقه در قسمت بلندتر قاب رخ می‌دهند.

ستون‌ها دچار مکانیزم خرایی می‌شوند که این پدیده در طبقات بالایی بارزتر است ولی در زلزله طبس در همه سازه‌ها، ستون‌های کوتاه بطور یکسان و برابر با سایر ستون‌ها دچار خرایی می‌شوند.

-۵ در هر دو زلزله، در سازه‌های ۴ و ۸ طبقه روند خرایی با ترک تیر آغاز و به ترتیب با مفصل شدن تیر، مفصل شدن ستون و مفصل شدن ستون کوتاه به پایان می‌رسد ولی در سازه ۱۰ طبقه ابتدا به طور همزمان تیر،

مراجع

- 1 - Kheyroddin, A., and Mirnezami, A. R.(2002). "Seismic behavior steel buildings with different floor." *Proc., 3rd National conf. on Code of Practice for Seismic Resistant Design of Buildings.*, Tehran,Iran.
- 2 - Abdullah, JA., Sumei, Z., and Jiepeng, Liu.(2010). "Shear strength and behavior of tubed reinforced and steel reinforced concrete (TRC and TSRC) short columns." *Thin-Walled Structures.* 48:191-199.
- 3 - Uy, B., Tao, Z., and Han, LH.(2011). "Behavior of short and slender concrete-filled stainless steel tubular columns." *Journal of Constructional Steel Research.* 67:360-378.
- 4 - Zhou, X., and Liu, J.(2010). "Seismic behavior and strength of tubed steel reinforced concrete (SRC) short columns." *Journal of Constructional Steel Research.* 66:885-896.
- 5 - Liang, QQ., and Fragomeni, S.(2009). "Nonlinear analysis of circular concrete-filled steel tubular short columns under axial loading." *Journal of Constructional Steel Research.* 65:2186-2196.
- 6 - Moretti, M., and Tassios TP.(2007). "Behaviour of short columns subjected to cyclic shear displacements: Experimental results." *Engineering Structures*:29;2018-2029.
- 7 - Moretti, M., and Tassios TP.(2006). "Behaviour and ductility of reinforced concrete short columns using global truss model." *ACI Structural Journal.*;103 :319-327.
- 8 - Haedir, J., and Zhao, XL.(2011). "Design of short CFRP-reinforced steel tubular columns. *Journal of Constructional Steel Research.*67:497-509.
- 9 - Colomb, F., Tobbi, H., Ferrier, E., and Hamelin, P.(2008) "Seismic retrofit of reinforced concrete short columns by CFRP materials." *Composite Structures* :82: 475-487.
- 10 - Promis, G., Ferrier, E., and Hamelin, P.(2008) "Effect of external FRP retrofitting on reinforced concrete short columns for seismic strengthening." *Composite Structures* : In Press.
- 11 - Galal, K., Arafa, A., and Ghobarah, A.(2005) "Retrofit of RC square short columns." *Engineering Structures*.;27:801-813.
- 12 - Ghobarah, A., and Galal, K.(2004) "Seismic rehabilitation of short rectangular RC columns." *Journal of Earthquake Engineering*;8:45-68.
- 13 - Lieping, Ye., Qingrui, Yue., shuhong, Zhao., and Quanwang, Li.(2002). "Shear strength of reinforced concrete columns strengthened with carbon Fiber Reinforced plastic sheet." *Journal of Structural Engineering*;128: 1527-1534.
- 14 - Galal, K., Ghobarah, A.(2003). "Flexural and shear hysteretic behaviour of reinforced concrete columns with variable axial load." *Engineering Structures*.;25:1353-1367.
- 15 – Bakhshi, A., and Tabeshpor, M. R.(2006). "Evaluation of short column fracture calculation in earthquake." *Research Bulletin of Seismology and Earthquake Engineering.*, Vol. 8, No. 1, spring.
- 16 - Barghi, M., and Abasnia, R.(2006). "Augury of RC columns destruction type in cyclic lateral load." *Proc., 7th Int. Conf. on Civil Eng.*, Tehran, Iran.
- 17 - Valles, RE., Reinhorn, AM., Kunnath, SK., Li, G., and Madan, A. (1996). IDARC 2D: A Program for the Inelastic Damage Analysis of Buildings, state University of New York at Buffalo.
- 18 – Moghaddam, H. (1384) "Earthquake Engineering." PP. 935.